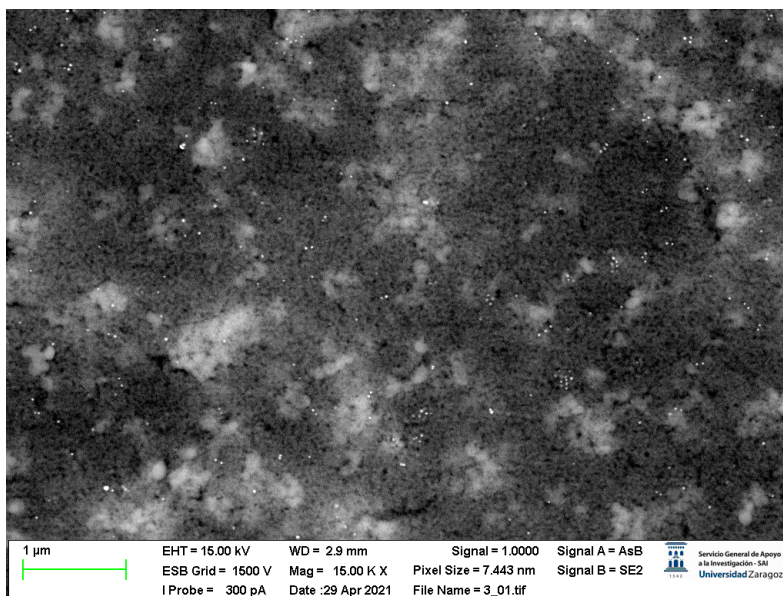


A. Anexo de figuras

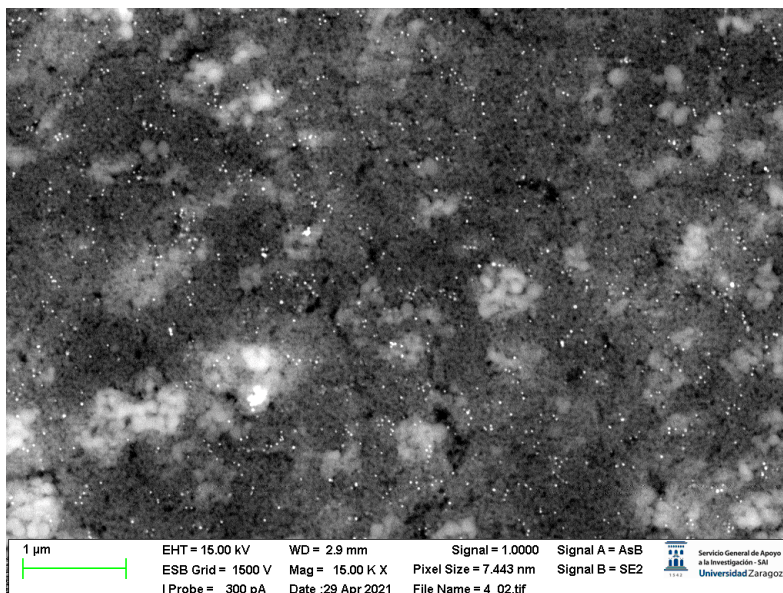
En este anexo se muestran algunas de las figuras recopiladas a lo largo del trabajo de forma más detallada para la realización de una mejor visualización de las mismas.

A.1. Caracterización de los electrodos mediante SEM

Figura 15:

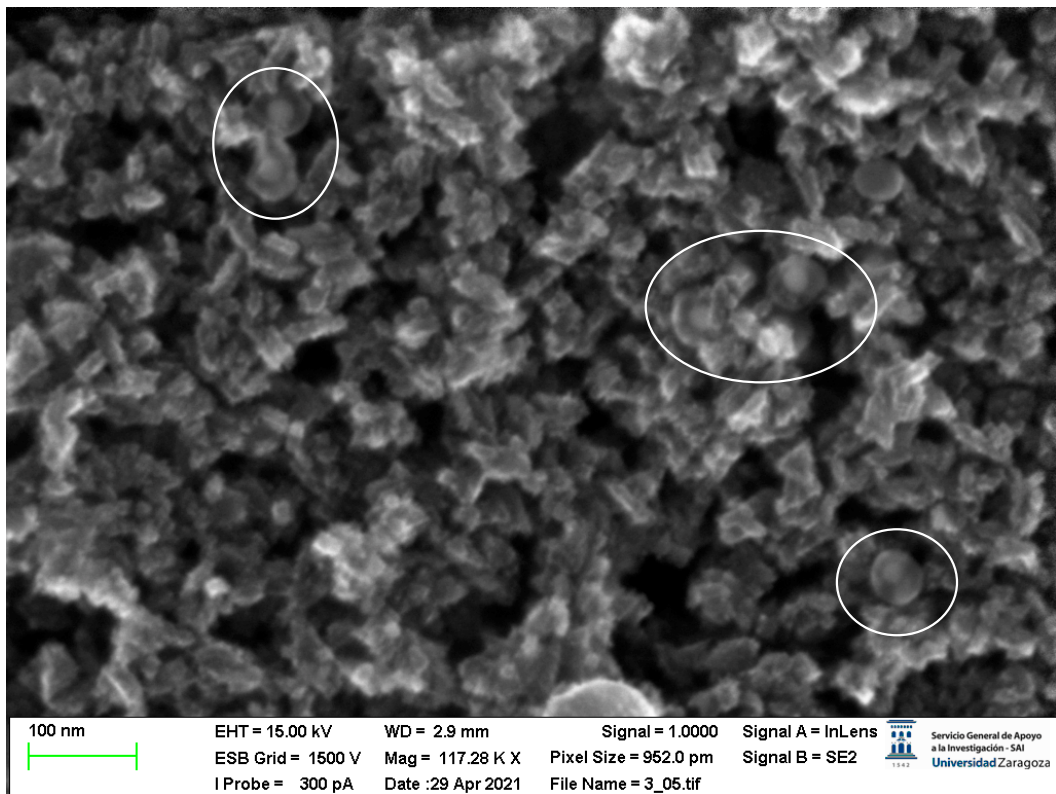


Izquierda



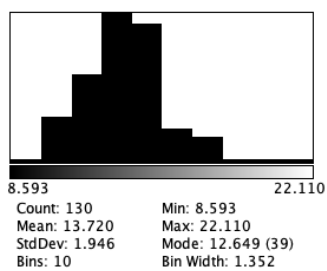
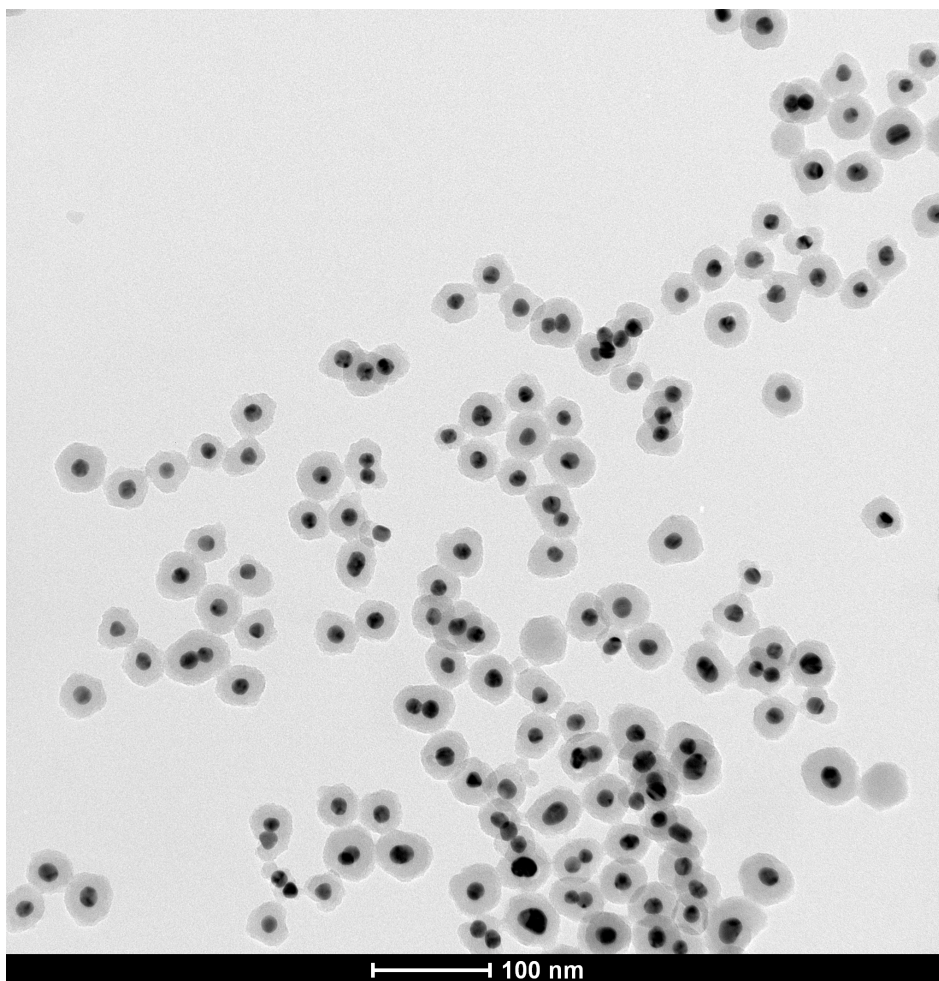
Derecha

Figura 16:

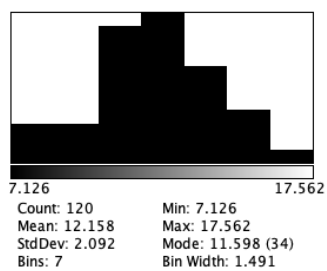


A.2. Celdas solares con nanopartículas con recubrimiento grueso

Figura 18: Nanopartículas $\phi=13,7$ nm

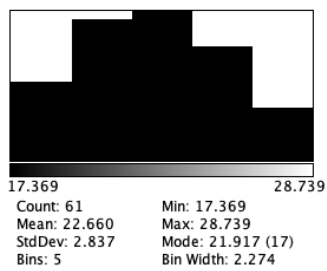
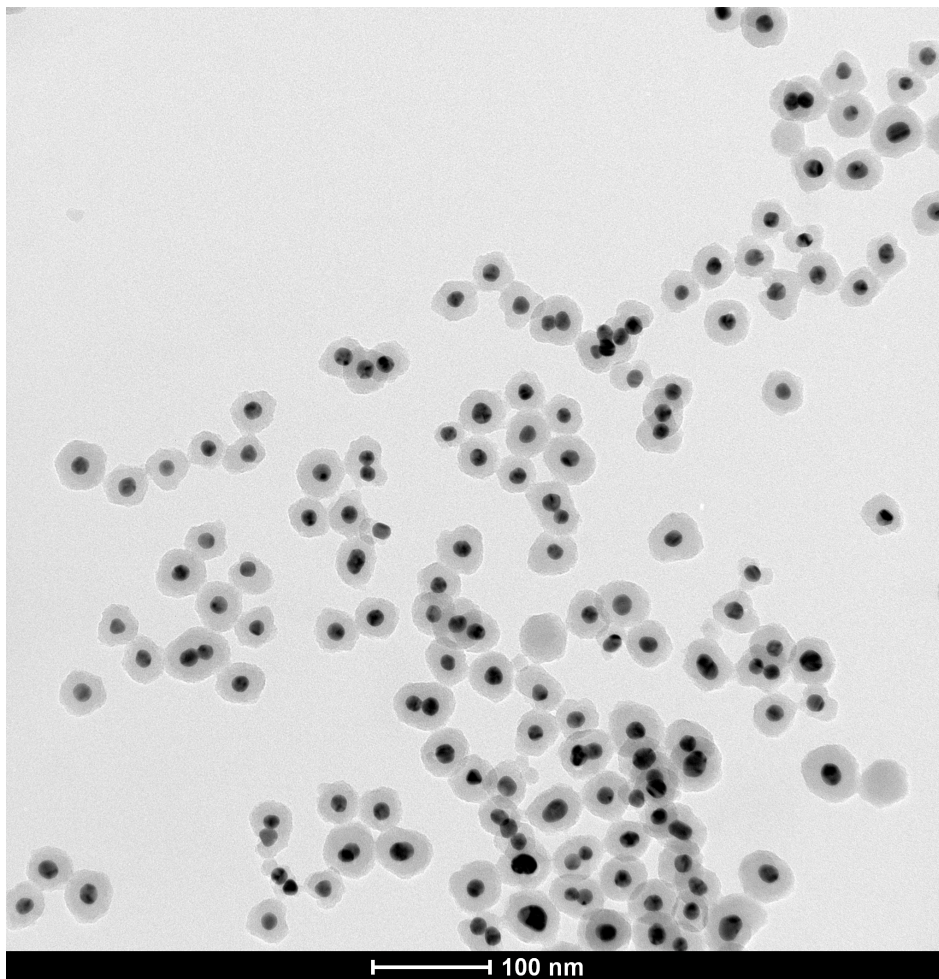


Nanopartícula

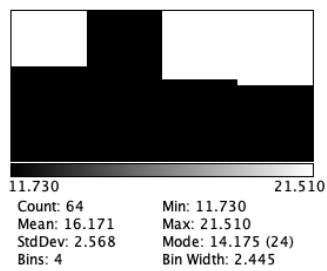


Recubrimiento

Figura 19: Nanopartículas $\phi=22,7$ nm



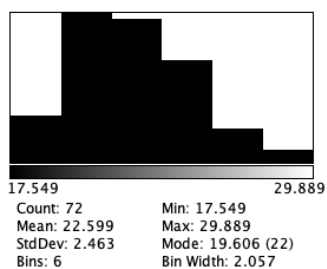
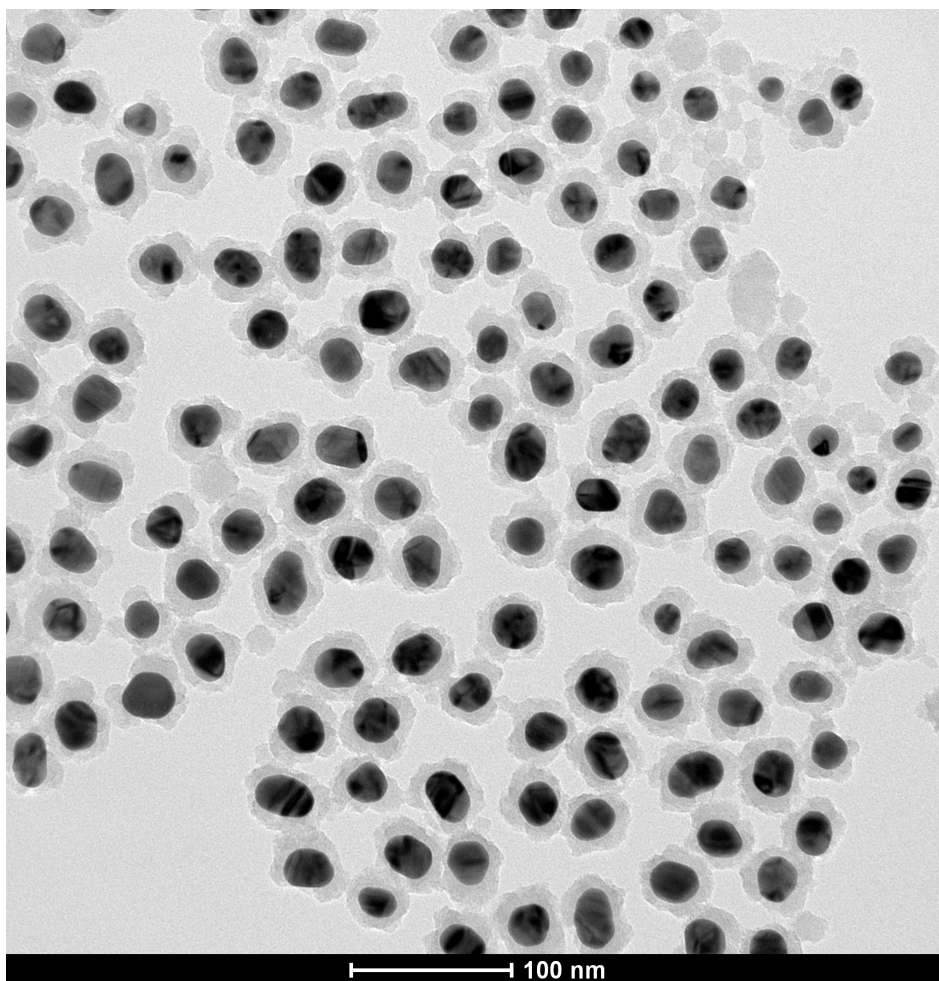
Nanopartícula



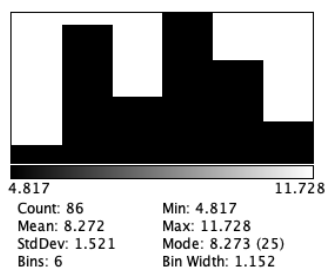
Recubrimiento

A.3. Celdas solares con nanopartículas con recubrimiento fino heterogéneo

Figura 20: Nanopartículas $\phi=22,6$ nm

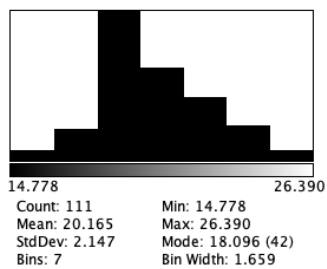
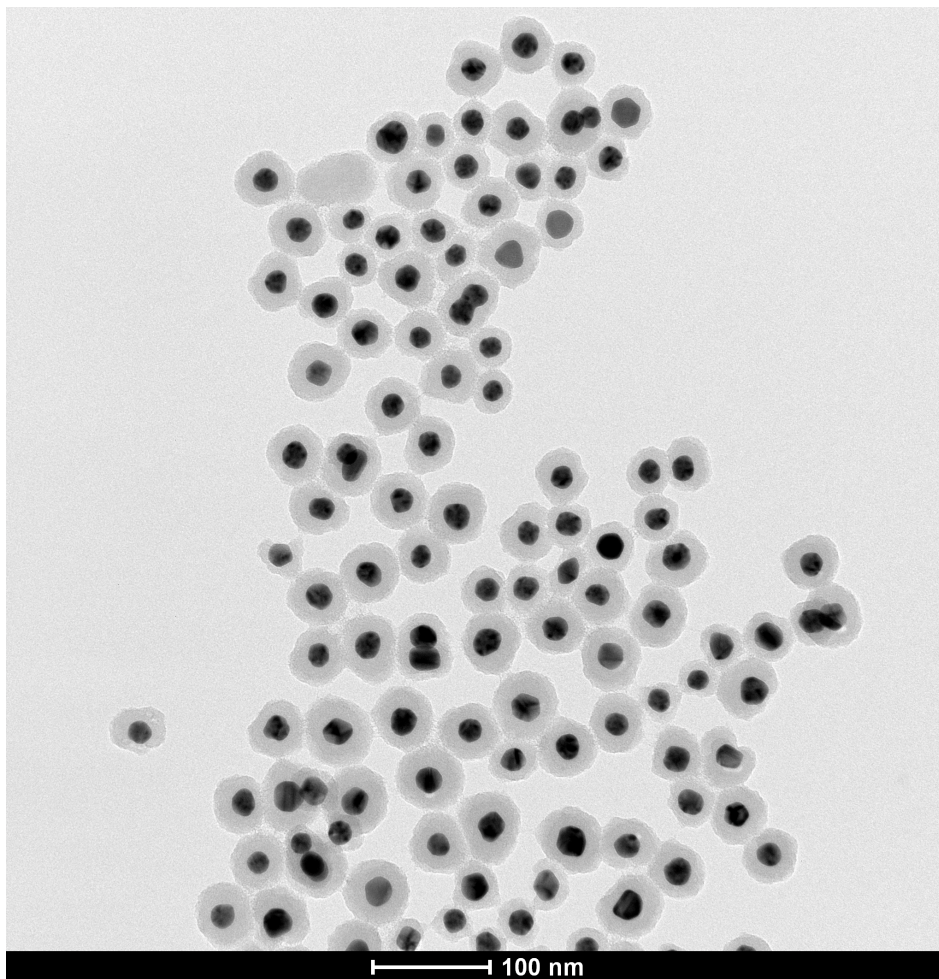


Nanopartícula

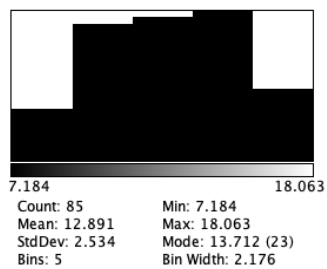


Recubrimiento

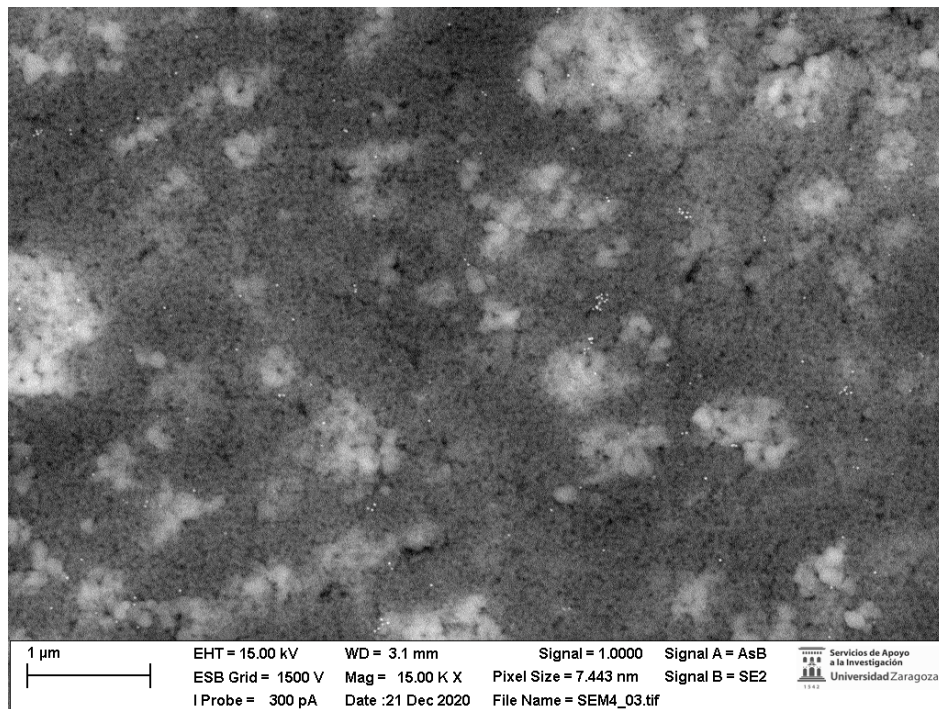
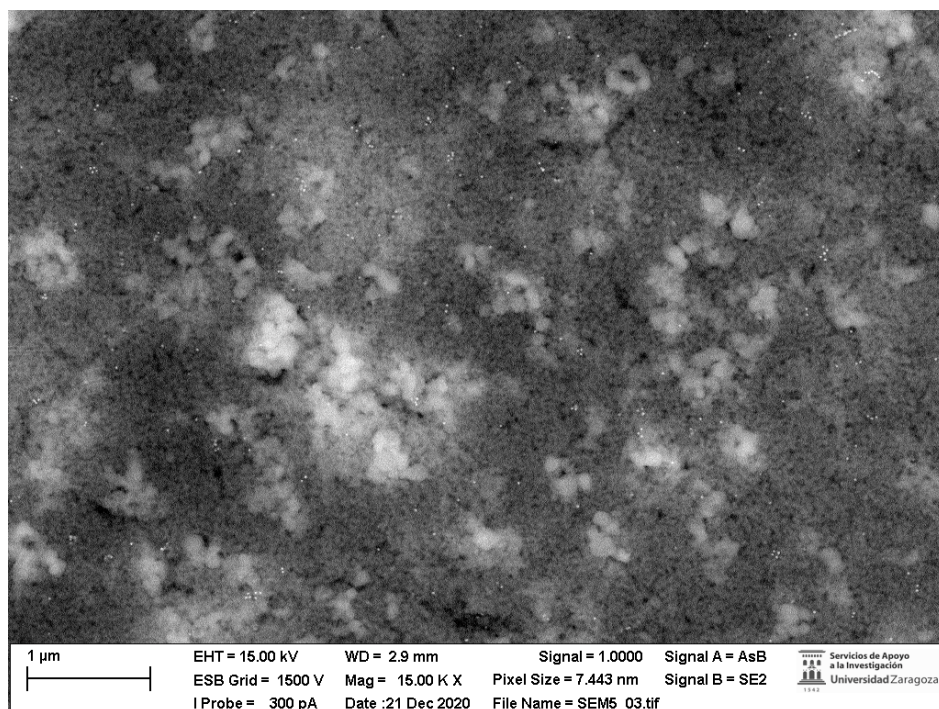
Figura 21: Nanopartículas $\phi=20,2$ nm



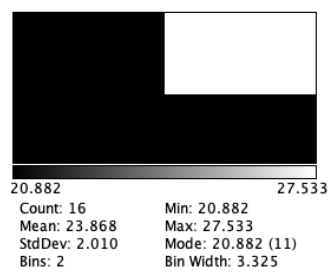
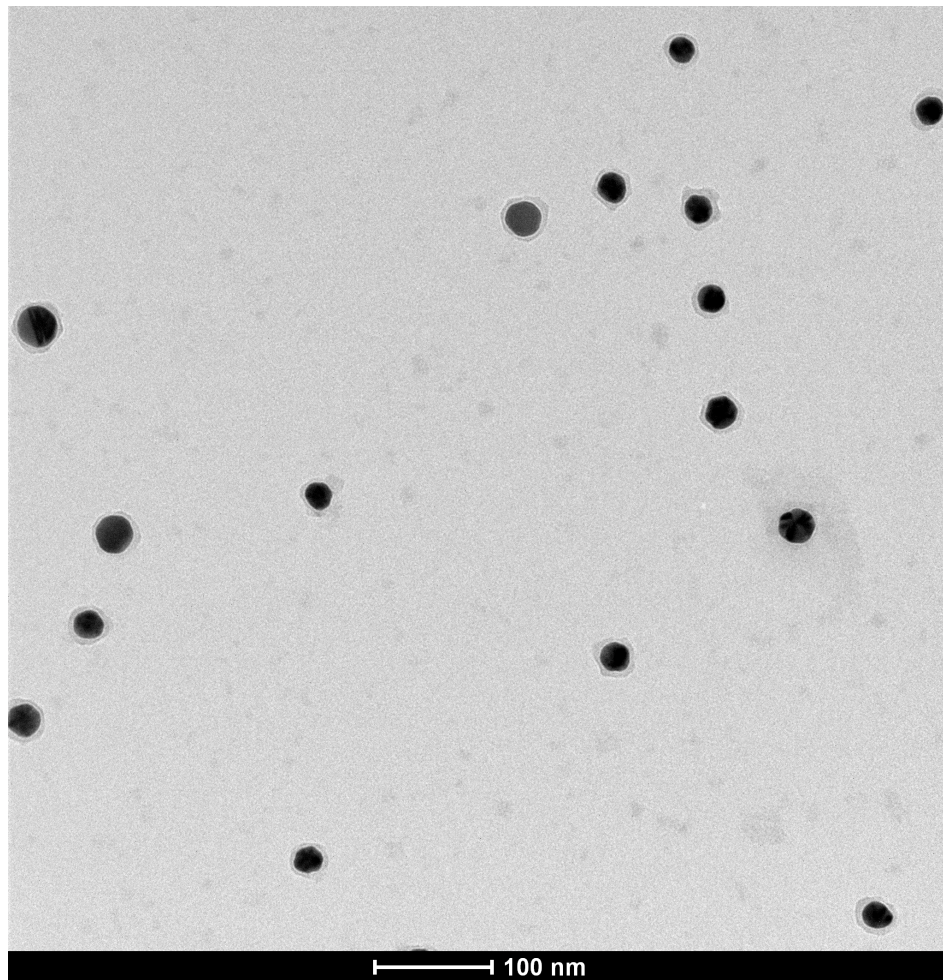
Nanopartícula



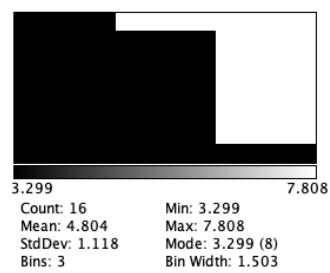
Recubrimiento

Figura 23: Bajo contenido de oro, pasta P₂.Figura 24: Alto contenido de oro, pasta P₃.

A.4. Celdas solares con nanopartículas con recubrimiento delgado

Figura 26: Nanopartículas $\phi=23,7$ nm

Nanopartícula



Recubrimiento